Д. т. н. Б. Л. Красный¹, к. т. н. В. П. Тарасовский¹, ³(⋈), к. т. н. Ю. М. Мосин², к. т. н. А. Б. Красный¹, к. т. н. А. Ю. Омаров³

- ¹ ЗАО «НТЦ «Бакор», г. Щербинка Московской обл., Россия
- ² ФГБОУ ВПО «Российский химико-технологический университет им. Д. И. Менделеева», Москва, Россия
- ³ ФГБОУ ВПО «Московский государственный индустриальный университет», Москва, Россия

УДК 666.762.11-127

ПОРИСТАЯ ПРОНИЦАЕМАЯ КОРУНДОВАЯ КЕРАМИКА ИЗ ПОРОШКОВ ГИДРОКСИДОВ АЛЮМИНИЯ. Часть 1. ИССЛЕДОВАНИЕ СВОЙСТВ ПОРОШКОВ ГИДРОКСИДА АЛЮМИНИЯ РАЗЛИЧНЫХ МАРОК

Приведены результаты получения и свойства пористой проницаемой керамики с высокими значениями открытой пористости и прочности из порошков гидроксида алюминия различных марок. Исследованию свойств таких порошков посвящена часть 1 настоящей статьи.

Ключевые слова: пористая корундовая керамика, порошки гидроксида алюминия, гиббсит, байерит, бёмит.

ВВЕДЕНИЕ

И зделия из пористой проницаемой керамики обладают рядом преимуществ по сравнению с такими же изделиями из пористых металлов, стекла и пластмасс. Они имеют более высокие значения прочности, устойчивы в кислотах и щелочах, расплавах черных и цветных металлов, агрессивных шлаков, могут длительно эксплуатироваться при высоких температурах. Поэтому в последнее время изделия из такой керамики вызывают большой интерес у потребителя.

По областям применения изделия из пористой проницаемой керамики можно разделить на несколько групп: 1 группа — изделия, процесс эксплуатации которых характеризуется наличием избыточного давления газа или жидкости, которые проходят по поровым каналам, очищаются, гомогенизируются, разделяются, смешиваются. К этим изделиям относятся фильтрующие элементы для очистки воздуха от пыли, водяного и масляного тумана, а также воздуха и горячих агрессивных газов, например доменного и мартеновского, при температурах до 1000 °C [1]; фильтрующие элементы для очистки газов от аэрозолей, в том числе радиоактивных [2]; фильтрующие элементы

Ы В. П. Тарасовский E-mail: tarasvp@mail.ru

для очистки питьевой воды и сточных вод промышленных предприятий, растворов электролитов, пульп, солевых растворов, вина, молока, кислот, щелочей, расплавов черных и цветных металлов [3-5]; диспергаторы для мелкодисперсного распыления газов в жидких средах или расплавах, а также газообразных реагентов в химических реакторах с целью увеличения контактной поверхности [6]; 2 группа — изделия из капиллярно-пористых керамических материалов, работа которых основана на использовании капиллярного давления, возникающего на границе раздела жидкость - газ. К таким изделиям относятся испарители, конденсаторы, фитили тепловых труб, капиллярные насосы, гидравлические затворы и др. [7]; 3 группа — изделия из пористых керамических материалов со специальными свойствами, для которых в процессе эксплуатации характерно взаимодействие поверхности пор с фазой, заранее введенной или пропускаемой по поровым каналам, что интенсифицирует физические и химические процессы. К таким изделиям относятся мембраны для электродов сравнения, заменители костной ткани и др. [8].

Традиционные методы изготовления пористой проницаемой корундовой керамики, такие как частичное спекание (твердофазовое) узкофракционированных порошков глинозема, жидкофазовое спекание узкофракционных порошков (с использованием легкоплавких технологических связок), с использованием порошков из материалов с некубической структурой

№ 1 2014 HOBble OTHEYNOPЫ ISSN 1683-4518 **35**

и с различающимися ТКЛР в направлении главных кристаллографических осей, с использованием различных порообразователей, не позволяют получать пористые проницаемые материалы с высокими (>40%) значениями открытой пористости [9]. Показано [10, 11], что введение в состав порошка оксида алюминия добавок порошка гидроксида алюминия позволяет получать пористые керамические материалы со значениями пористости до 50%, однако прочность этих материалов достаточно низкая.

ЦЕЛЬ РАБОТЫ

Цель работы — получение пористой проницаемой керамики с высокими значениями открытой пористости и прочности из порошка гидроксида алюминия и исследование ее свойств. Для достижения этой цели предложено использовать порошки гидроксида алюминия различных марок (имеющих различную морфологию, фазовый и гранулометрический составы). Исследованию свойств таких порошков посвящена часть 1 этой работы. Использованы следующие порошки:

- гидроксид алюминия марки ГД-12 (производства ОАО «Бокситогорский глинозем», ТУ 1711-001-00658716—99, получен при разложении алюминатных растворов методом карбонизации в производстве глинозема);
- гидроксид алюминия марки НПК-1 (гидрат оксида алюминия мелкодисперсный квалификации ч. д. а. производства Донецкого завода химических реактивов);
- гидроксид алюминия марки НПК-2 (гидроксид алюминия марки ТГА производства Ачинского глиноземного завода);
- гидроксид алюминия марки APYRAL 4 (плотность 2,4 г/см³, удельная поверхность $0.7 \,\mathrm{m}^2/\mathrm{r}$, производства фирмы «Nabaltec AG», Германия);
- гидроксид алюминия марки APYRAL AOH 180E (плотность 3,0 г/см 3 , удельная поверхность 17 м 2 /г, производства фирмы «Nabaltec AG», Германия).

Гидроксиды всех используемых марок являются мелкокристаллическими порошками белого цвета. По данным производителей, материал ГД-12 содержит 99,7 мас. % $Al(OH)_3 + 0,3$ мас. % Na_2O , материал НПК-1—99,4 мас. % $Al(OH)_3 + 0,6$ мас. % Na_2O , материал НПК-2—99,3 мас. % $Al(OH)_3 + 0,7$ мас. % Na_2O , материал APYRAL 4—99,7 мас. % $Al(OH)_3 + 0,3$ мас. % Na_2O , материал APYRAL AOH 180E - 99,7 мас. % AlOOH + 0,3 мас. % Na_2O . Все используемые в работе материалы являются химически чистыми.

МЕТОДЫ ИССЛЕДОВАНИЯ

Исследование фазового состава порошков проводили на дифрактометре BRUKER D8 ADVANCE фирмы «Bruker». Германия: морфологию исходных порошков изучали с помощью растрового электронного микроскопа JSM-6490 LV фирмы JEOL, Япония; гранулометрический состав порошков определяли на лазерном анализаторе частиц «Analysette 22» фирмы «Fritsch», Германия; удельную поверхность исходных материалов измеряли на приборе ASAP 2020 фирмы «Micromeritics Instrument Corp.», США (метод низкотемпературной адсорбции азота); термический анализ образцов порошков проводили на приборе «Derivatograph Q-1500D» системы Паулик — Паулик — Эрдей фирмы МОМ, Венгрия.

РЕЗУЛЬТАТЫ ИССЛЕДОВАНИЙ

По данным рентгенофазового анализа, гидроксид алюминия марки ГД-12 содержит одну фазу гидроксида алюминия Al(OH)₃ с модификацией гиббсита с параметрами моноклинной элементарной ячейки a = 0.86735 нм, $b = 0.507259 \text{ HM}, c = 0.97268 \text{ HM}, \beta = 94.552^{\circ}.$ Образец НПК-1 представляет собой смесь двух модификаций гидроксида алюминия Al(OH)₃: гиббсита с параметрами моноклинной элементарной ячейки a = 0.86831 нм, b = 0.50743 нм, c = 0.97175 нм, $\beta = 94.428$ ° и байерита с параметрами моноклинной элементарной ячейки a = 0.5058 HM, b = 0.8698 HM, c = 0.47419 HM, $\beta = 90,60^{\circ}$. По данным количественного рентгенофазового анализа методом Ритвельда, в образце содержится 78,0 мас. % гиббсита и 22,0 мас. % байерита.

Образцы НПК-2 и APYRAL 4 содержат одну фазу гидроксида алюминия Al(OH)₃ с модификацией гиббсита, а образец APYRAL AOH 180E—одну фазу оксигидроксида алюминия AlO(OH) с модификацией бёмита. На рентгенограммах образцов НПК-2 и APYRAL AOH 180E зафиксированы достаточно высокие фоны, которые обусловлены большим количеством в них аморфной фазы (особенно в образце НПК-2). Содержание аморфной фазы в образцах ГД-12, НПК-1 и APYRAL 4, напротив, не столь велико.

По данным сканирующей электронной микроскопии, образец ГД-12 состоит из агломератов изотропной формы (близкой к сферической), представляющих собой сростки кристаллов (рис. 1, a). По электронно-микроскопическим изображениям были оценены средний размер агломератов (~52 мкм) и сред-

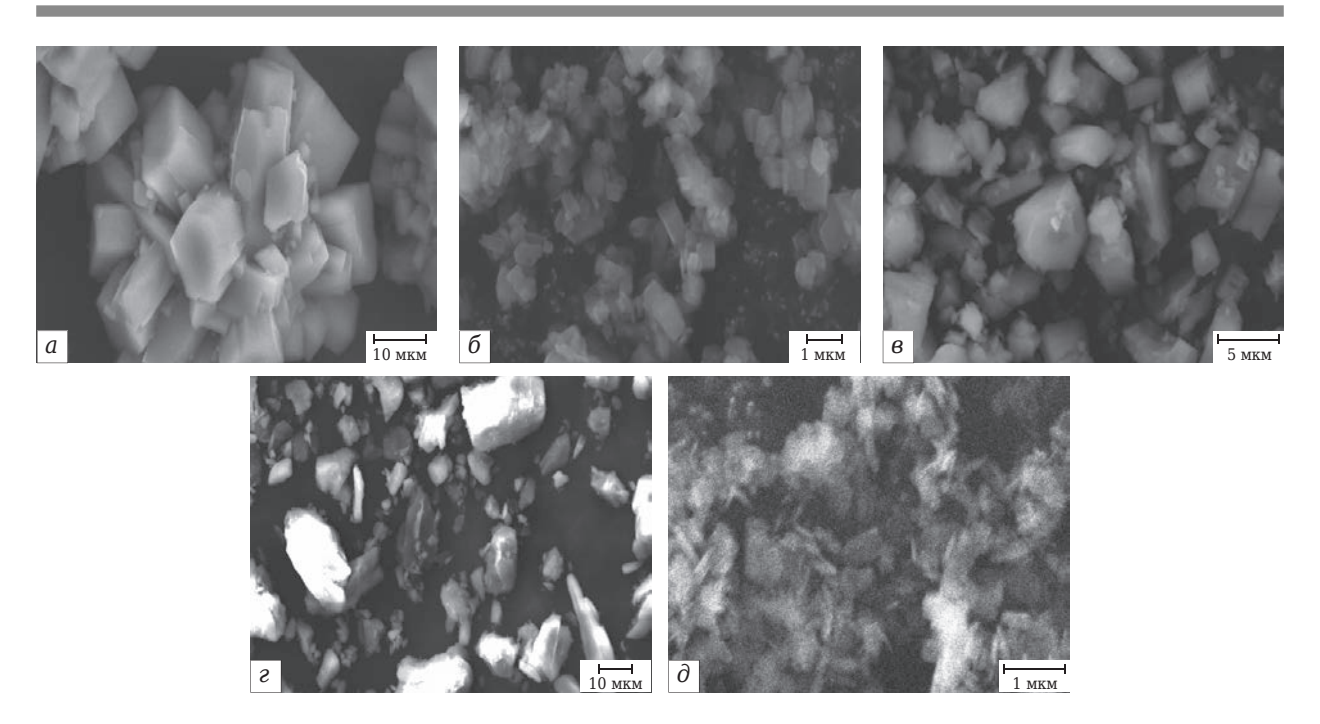


Рис. 1. Морфология частиц порошка гидроксида алюминия: $a-\Gamma$ Д-12; b-HПК-1; b-HПК-2; a-APYRAL 4; a-APYRAL AOH 180E

ний размер кристаллов в агломератах (~12 мкм). Распределение кристаллов в агломератах по размерам в образце ГД-12 практически равномерное в интервале 5-20 мкм. Образец НПК-1 состоит из хорошо ограненных кристаллов субмикронного размера и больших по размеру агломератов изотропной формы (рис. 1, б). Форма субмикронных кристаллов идентична форме кристаллов в образце ГД-12 (см. рис. 1, а), из чего можно сделать предположение, что эти кристаллы соответствуют модификации гиббсита, а агломераты представляют собой модификацию байерита. В структуре агломератов в образце НПК-1 трудно выделить отдельные хорошо ограненные кристаллы, в отличие от агломератов в образце ГД-12. По электронно-микроскопическим изображениям были оценены средний размер агломератов (~12 мкм) и средний размер кристаллов в агломератах (~406 нм). Образец НПК-1 имеет мономодальное распределение агломератов по размерам в интервале 5-30 мкм. Распределение кристаллов по размерам в образце НПК-1 мономодальное в интервале 100-800 нм. Образец НПК-2 состоит из кристаллов и больших по размеру агломератов неизометричной формы (рис. 1, в). Образец APYRAL 4 состоит из кристаллов неизометричной формы, похожих на кристаллы гидроксида алюминия марки НПК-2 (рис. 1, г). Образец APYRAL AOH 180Е состоит из игольчатых кристаллов неизометричной формы субмикронного размера (рис. 1, ∂).

Гранулометрический состав порошков гидроксидов показан на рис. 2. Результаты определения среднего диаметра и удельной поверхности порошков гидроксида алюминия различных марок представлены в табл. 1. Результаты исследований гранулометрического состава порошков и данные по их удельной поверхности подтверждают выводы, сделанные на основании анализа результатов электронной микроскопии этих же порошков гидроксидов, — порошки имеют различные морфологию, размер и структуру.

Результаты термического анализа порошков гидроксидов показаны на рис. 3. Первый эндотермический эффект на термограмме материала ГД-12 наблюдается при 80-200 °C и практически не сопровождается потерей массы. Он связан с удалением физически связанной воды (рис. 3, а). Второй и третий эндотермические эффекты, наблюдаемые соответственно при 220-280 и 300-400°C, сопровождаются значительной потерей массы и соответствуют переходу тригидратов оксида алюминия (гиббсита, байерита) в моногидрат (бёмит); переход, по-видимому, проходит в две стадии. Четвертый эндотермический эффект наблюдается при 530-670 °C и сопровождается потерей массы; он не такой значительный, как второй и третий. Этот эффект соответствует переходу бёмита в γ-Al₂O₃. На термограмме наблюдаются также эффекты в интервале 1010-1090 °C, которые могут быть связаны с переходами промежуточных фаз у- Al_2O_3 в δ - Al_2O_3 и δ - Al_2O_3 в θ - Al_2O_3 .

№ 1 2014 HOBBIE OTHEYNOPBI ISSN 1683-4518 **37**

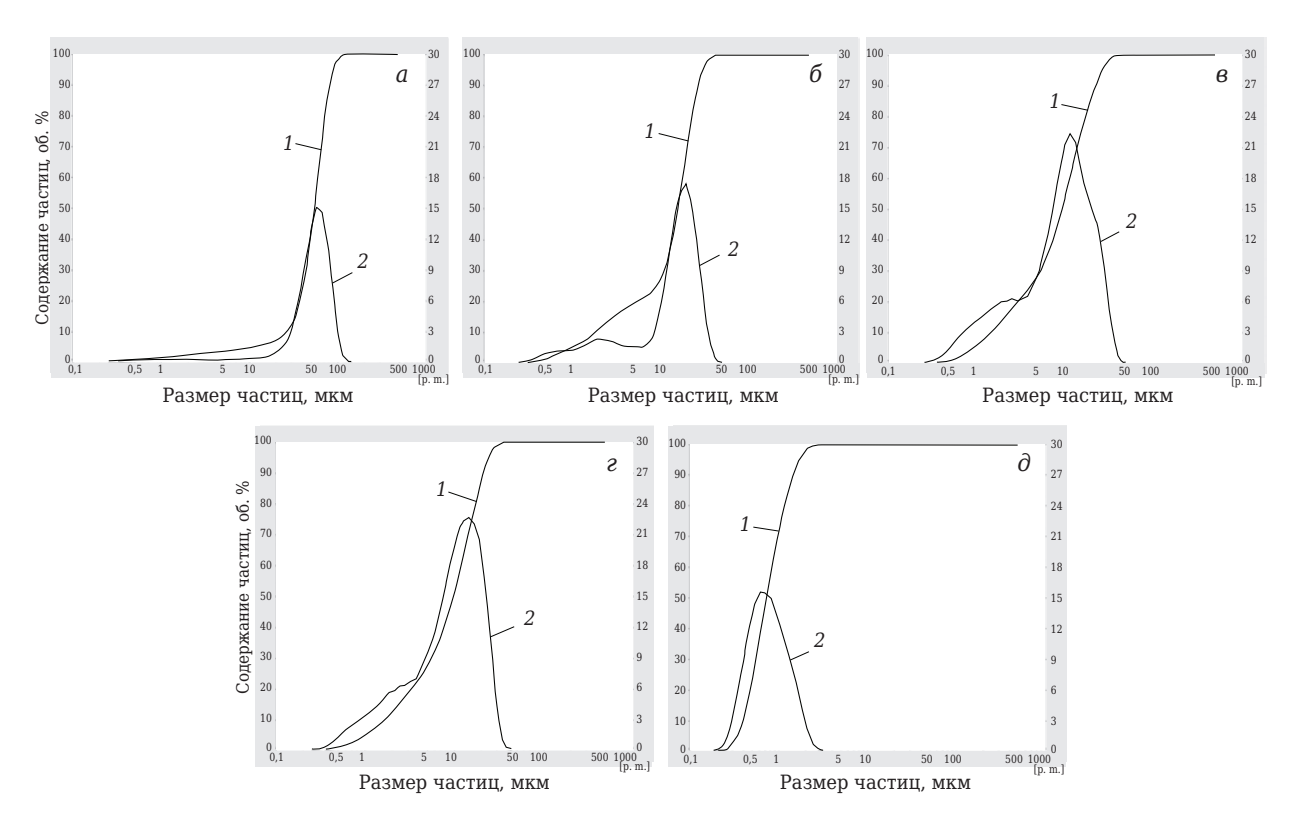


Рис. 2. Распределение частиц по размерам в порошке гидроксида алюминия: $a-\Gamma$ Д-12; b-HПК-1; b-HПК-2; b-H1 APYRAL 4; b-H1 AOH 180E

Таблица 1. Средний диаметр $d_{\rm cp}$ и удельная поверхность $S_{\rm уд}$ частиц порошка гидроксида алюминия различных марок

| and the party in t | | | | | | | | |
|--|--------|--------|--------|----------|-----------------|--|--|--|
| Показатели | ГД-12 | НПК-1 | НПК-2 | APYRAL 4 | APYRAL AOH 180E | | | |
| $d_{\rm cp}^{*1}$, мкм | 55,73 | 14,77 | 10,51 | 10,15 | 0,84 | | | |
| S_{yg}^{*1} , м ² /г | 0,08 | 0,31 | 0,40 | 0,35 | 2,27 | | | |
| S_{yg}^{*2} (БЭТ), м ² /г | 221,37 | 210,06 | 173,32 | 37,04 | 26,49 | | | |
| *1 По данным лазерного анализатора частиц. *2 Определена методом адсорбции азота. | | | | | | | | |

На термограмме материала НПК-1 наблюдается эндотермический эффект при 90-180°C, практически не сопровождающийся потерей массы, который связан с удалением физически связанной воды (рис. 3, б). Второй и третий эндотермические эффекты, наблюдаемые соответственно при 245-280 и 300-420 °C, сопровождаются значительной потерей массы и соответствуют переходу тригидратов оксида алюминия (гиббсита, байерита) в бёмит; переход, по-видимому, проходит в две стадии. Четвертый эндотермический эффект наблюдается при 530-620 °C и сопровождается потерей массы; он не такой значительной, как второй и третий. Этот эффект соответствует переходу бёмита в у-Al₂O₃.

Первый эндотермический эффект на термограмме гидроксида алюминия марки НПК-2, наблюдаемый при 240–300 °С и сопровожда-

ющийся потерей массы, соответствует переходу тригидрата оксида алюминия в моногидрат (рис. 3, в). При этом величина этого теплового эффекта значительно меньше, чем на термограммах порошков гидроксидов ГД-12, НПК-1 и APYRAL 4. Потеря массы в этом интервале также незначительная. На термограмме не наблюдается второго эффекта, соответствующего переходу бёмита в у-Al₂O₃. Отличие термограммы порошка гидроксида алюминия марки НПК-2 от термограмм порошков гидроксидов алюминия марок ГД-12, НПК-1 и APYRAL 4 можно объяснить присутствием большого количества аморфной фазы в этом материале.

На термограмме порошка гидроксида алюминия марки APYRAL 4 первый эндотермический эффект наблюдается при 240—320 °C (рис. 3, г). Этот эффект сопровождается значительной потерей массы и связан с перехо-

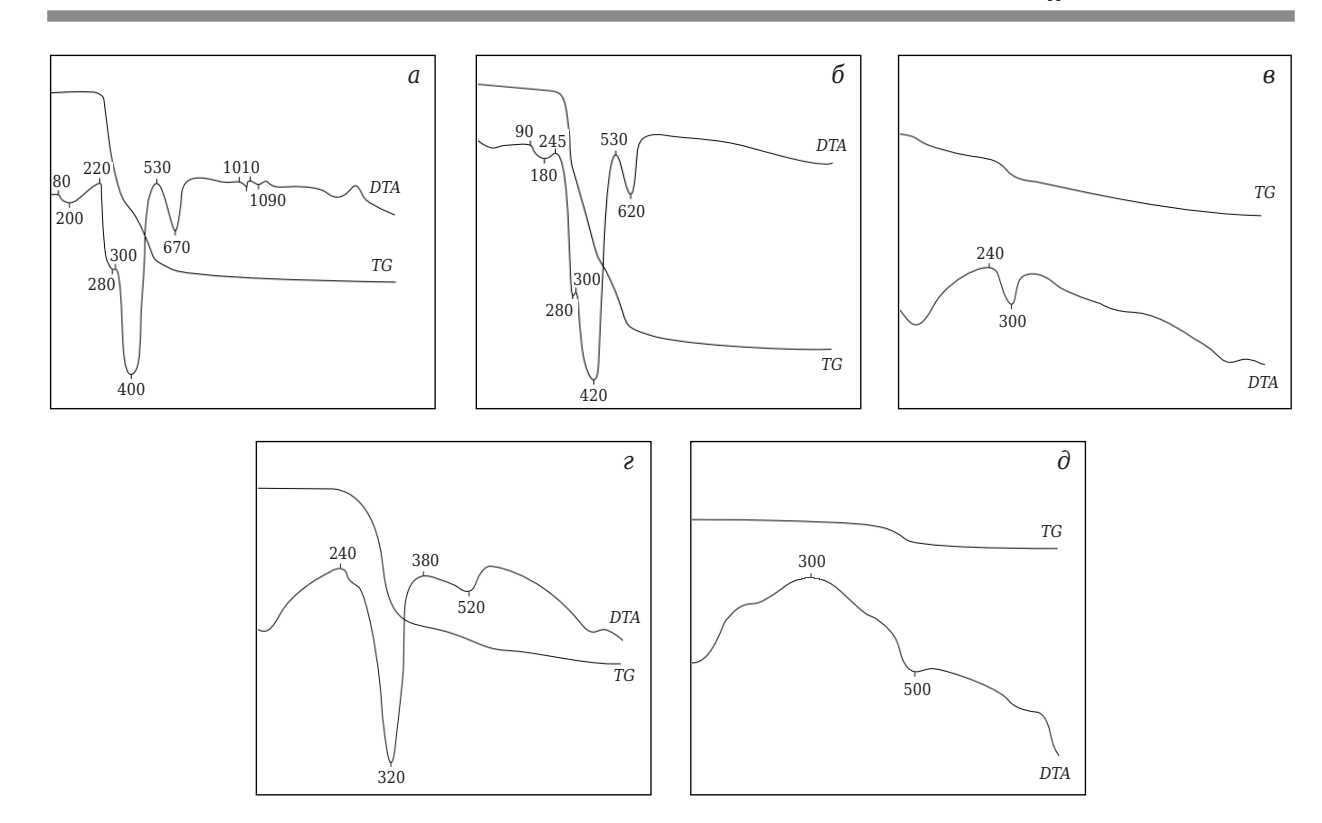


Рис. 3. Термограммы порошка гидроксида: a — ГД-12; δ — НПК-1; ϵ — НПК-2; ϵ — APYRAL 4; ∂ — APYRAL AOH 180E; цифры на кривых — температура, °C

| Таблица 2. Характеристика порошков гидроксида алюминия различных марок | | | | | | | | |
|---|--|---|---|----------|---|--|--|--|
| Показатели | ГД-12 | НПК-1 | НПК-2 | APYRAL 4 | APYRAL AOH 180E | | | |
| Фазовый состав | Гиббсит | 78 мас. % гиббси- та + 22 мас. % байерита | Гиббсит + значи- тельное количество аморфной фазы | Гиббсит | Бёмит + значи- тельное количество аморфной фазы | | | |
| Форма агломератов | Изотропная, близкая к сфери- ческой, сростки кристаллов | Изотропная, близкая к сферической | - | - | - | | | |
| Размер агломератов, мкм | 52,0 | 12,0 | _ | _ | _ | | | |
| Форма кристаллов | Хорошо ограненная | | Неправильная | | Игольчатая | | | |
| Размер кристаллов, мкм | 12,0 | 0,5 | 5,0 | 8,0 | 0,1 | | | |
| Температура процесса при нагревании, °C: | | | | | | | | |
| $Al(OH)_3 \cdot 3H_2O \rightarrow Al(OH)_3 \cdot 3H_2O$ | 245-420 | 245-280 | 240-300 | 240-320 | - | | | |
| $Al(OH)_3 \cdot H_2O \rightarrow \gamma - Al_2O_3$ | 530-670 | 530-620 | _ | 380-520 | 300-500 | | | |
| γ -Al ₂ O ₃ $\rightarrow \alpha$ -Al ₂ O ₃ | 1300-1380 | _ | _ | _ | _ | | | |

дом тригидрата оксида алюминия (гиббсита) в бёмит. Второй эндотермический эффект наблюдается при $380-520\,^{\circ}$ С и сопровождается небольшой потерей массы. Он соответствует переходу бёмита в γ -Al₂O₃. Для порошка гидроксида алюминия марки APYRAL AOH 180E при $300-500\,^{\circ}$ С на термограмме наблюдается пик, который сопровождается небольшой потерей массы и связан с удалением воды при переходе бёмита в γ -Al₂O₃ (рис. 3, δ).

Таким образом, выбранные для исследования гидроксиды алюминия различаются как по

морфологии, так и по фазовому и гранулометрическому составам. В табл. 2 представлена обобщенная характеристика порошков гидроксида алюминия, выбранных для исследования.

В связи с тем что порошки гидроксида алюминия, выбранные для исследования, имеют различные состав и свойства, можно предположить, что при изготовлении керамики (после спекания) получатся керамические материалы с различными характеристиками (различными значениями пористости). Известно, что изменение пористости и плотности материалов в

№ 1 2014 HOBBIE OTHEYNOPBI ISSN 1683-4518 **39**

Таблица 3. Объемные эффекты реакций порошков гидроксидов различных марок при их превращении в оксид алюминия

| | Содержание | кристаллической | $\Delta m, \%$ | δ, % | | | |
|--|------------|-----------------|----------------|---------|--|--|--|
| Материал | | | | | бёмит (ρ = 3,04 г/см ³) | | |
| ГД-12 | 100 | _ | _ | -0,3465 | -60,36 | | |
| НПК-1 | 78 | 22 | _ | -0,3465 | -59,98 | | |
| НПК-2 | 100 | _ | _ | -0,3465 | -60,36 | | |
| APYRAL 4 | 100 | _ | _ | -0,3465 | -60,36 | | |
| APYRAL AOH 180E | _ | _ | 100 | -0,1502 | -35,25 | | |
| * Δm — изменение массы; δ — объемный эффект реакции. | | | | | | | |

процессе обжига может быть связано не только со спеканием отдельных частиц шихты, но и с химическими реакциями компонентов этой шихты. В статье [12] предложена методика оценки объемных изменений отформованного образца, происходящих в результате химических реакций, и расчета значений конечной пористости образцов. Критерием, позволяющим оценивать реакции с точки зрения возможных объемных изменений, является объемный эффект реакции.

При нагревании тригидраты оксида алюминия (гиббсит, байерит) переходят в бёмит, который при дальнейшем нагревании переходит в оксид алюминия. Исходя из предположения, что все используемые в работе материалы состоят только из кристаллической фазы, были рассчитаны объемные эффекты, которые будут иметь место при высокотемпературном обжиге образцов из порошков гидроксидов алюминия различных марок (табл. 3).

ЗАКЛЮЧЕНИЕ

Порошки, выбранные для исследования, имеют различные фазовый и гранулометрический со-

БИБЛИОГРАФИЧЕСКИЙ СПИСОК

1. Красный, Б. Л. Керамические фильтры — реальные возможности для эффективного пылеудаления из горячих отходящих газов / Б. Л. Красный, В. П. Тарасовский, А. Ю. Вальдберг // Новые огнеупоры. — $2005. - N_{\odot} 2. - C. 33 - 37.$

Krasnyi, B. L. Ceramic filters and their use for cleaning dust-laden hot exit gases / B. L. Krasnyi, V. P. Tarasovskii, A. Yu. Val'dberg // Refractories and Industrial Ceramics. -2005. - Vol. 46, No. 2. - P. 116–119.

- 2. Красный, Б. Л. Применение керамических материалов для решения экологических проблем / Б. Л. Красный, В. П. Тарасовский, А. Б. Красный // Безопасность окружающей среды. — 2008. — № 1. — C. 90-92.
- 3. Красный, Б. Л. Фильтрующие элементы из высокочистого кварцевого стекла для проточных аппаратов обогащения кремнеземсодержащего сырья /

ставы, морфологию и структуру. Расчеты показывают, что реакция разложения гидроксида алюминия до оксида алюминия при нагревании сопровождается отрицательным объемным эффектом — происходят разрыхление структуры и увеличение пористости заготовки. Объемный эффект реакции для моногидрата оксида алюминия меньше, чем для тригидрата, в связи с чем можно ожидать более низкое значение пористости для образов из гидроксида марки APYRAL AOH 180E по сравнению с образцами из гидроксидов других марок.

Результаты, касающиеся получения и исследования свойств пористых керамических материалов из порошков гидроксида алюминия различных марок, будут представлены в части 2 статьи.

Работа проводилась при финансовой поддержке Министерства образования и науки Российской Федерации в рамках государственного контракта № 16.552.11.7082 и на оборудовании ЦКП «Наукоемкие технологии в машиностроении».

- Б. Л. Красный, В. П. Тарасовский, Т. С. Маринина, А. И. Гоптарь // Стекло и керамика. — 2006. — № 11. — C. 5, 6.
- 4. Красный, Б. Л. Разработка пористого проницаемого керамического материала и технологии фильтрующих элементов для свечевых фильтровальных аппаратов / Б. Л. Красный, В. П. Тарасовский, А. Б. Красный // Новые огнеупоры. — 2009. — № 1. – C. 23-27.
- Krasnyi, B. L. Development of porous permeable ceramic material and filtering element technology for candle-shaped filter equipment / B. L. Krasnyi, V. P. Tarasovskii, A. B. Krasnyi // Refractories and Industrial Ceramics. -2009. - Vol. 50, № 1. - P. 22-25.
- 5. Красный, Б. Л. Разработка керамического материала и технологии фильтрующих элементов для дисковых вакуумных фильтровальных установок,

применяемых при обезвоживании концентратов руд черных и цветных металлов / Б. Л. Красный, В. П. Тарасовский, А. Б. Красный // Новые огнеупоры. — 2009. — № 3. — С. 24-28.

- **Krasnyi**, **B.** L. Development of ceramic material and filtering element technology for disk vacuum filtering units used in dewatering ferrous and nonferrous metal ore concentrates / B. L. Krasnyi, V. P. Tarasovskii, A. B. Krasnyi // Refractories and Industrial Ceramics. -2009. Vol. 50, № 2. P. 107-111.
- 6. **Красный, Б. Л.** Пористая проницаемая керамика для мелкопузырчатых систем аэрации сточных вод в аэротенках / Б. Л. Красный, В. П. Тарасовский, А. Б. Красный, А. М. Усс // Новые огнеупоры. 2010. —
- **Krasnyi, B. L.** Porous permeable ceramic for fine bubble waste water aeration systems in aeration tanks / B. L. Krasnyi, V. P. Tarasovskii, A. B. Krasnyi, A. M. Uss // Refractories and Industrial Ceramics. 2011. Vol. $51, \, \mathbb{N} \, 5.$ P. 322-327.
- 7. *Пат.* **54-95611**, *Япония*. Пористая керамика в качестве фитиля для нефти / Цунедзи Нитта, Хиромицу Токи; опубл. 12.01.97.
- 8. **Поляков, С. А.** Керамическая диафрагма для электролизных процессов / С. А. Поляков, С. А. Вель-

НАУЧНО-ТЕХНИЧЕСКАЯ ИНФОРМАЦИЯ

Организатор: Мир-Экспо

- можин // Стекло и керамика. 1989. № 11. С. 23, 24.
- 9. **Красный, Б. Л.** Влияние температуры обжига на спекание и физико-технические характеристики пористой проницаемой керамики на алюмосиликатной связке / Б. Л. Красный, В. П. Тарасовский, А. Б. Красный, Я. Г. Матыцин // Техника и технология силикатов. 2012. № 1. С. 11-14.
- 10. **Deng, Z.** High-Surface-Area alumina ceramics fabricated by the decomposition of $Al(OH)_3$ / Z. Deng, T. Fukasawa, M. Ando // J. Amer. Ceram. Soc. <math>2001. Vol. 3, New 84. P. 485-491.
- 11. **Пат. 6565825 США, МПК В 2.** Porous alumina fabrication procedures / *Ohji T., Deng Z.*; заявитель и патентообладатель Ohji T., Deng Z. № 07/748019; заявл. 27.12.00; опубл. 20.05.03.
- 12. *Гузман, И. Я.* Реакционное спекание и его использование в технологии огнеупоров / Я. И. Гузман. М.: РХТУ, 1996. 56 с. ■

Получено 04.02.13 © Б. Л. Красный, В. П. Тарасовский, Ю. М. Мосин, А. Б. Красный, А. Ю. Омаров, 2014 г.

ТЕРМООБРАБОТКА Единственная в России выставка термического Восьмая международная специализированная выставка оборудования и технологий 9 - 11 сентября 2014 9-10 Россия, Москва, ЦВК «Экспоцентр», павильон 5 «ИННОВАЦИОННЫЕ ТЕХНОЛОГИИ ТЕРМООБРАБОТКИ» сентября Разделы выставки: новый раздел Внепечная местная и объёмная термообработка Неразрушающий контроль, испытательное оборудование, измерительные системы Промышленные печи: муфельные, вакуумные, плавильные, шахтные, камерные, электропечи Автоматизация термообработки, системы управления Индукционный нагрев: генераторы индукционных токов, и регулирования индукционные плавильные печи Энергосберегающие технологии термических Оборудование для химико-термической обработки: производств азотирования, цементации и т.д. Диагностика, реконструкция и модернизация оборудования Размерная и поверхностная обработка: формообразование, напыление Закалочное оборудование, масла и среды Лабораторные печи, сушильные шкафы Оснастка для термического оборудования новый раздел Футеровка печей: огнеупоры, Системы нагрева и газоснабжения, горелки, электронагревательные элементы теплоизоляция, клеи, футеровочные работы Информационная поддержка: POOMPHION PROPERTY OF THE POOR PRODUCTIONS ANTERIOR OF THE PRODUCTION OF THE PR

№ 1 2014 HOBBIE OFHEYNOPBI ISSN 1683-4518 **41**

E-mail: info@htexporus.ru | Сайт: www.htexporus.ru | Твиттер: @htexpo_ru

Тел./факс: 8 499 618 05 65, 8 499 618 36 83

ООО «Выставочная компания «Мир-Экспо» | Россия, 115533, Москва, проспект Андропова, 22